文章编号: 1006-4354 (2008) 03-0016-04

Q 矢量在陕南大暴雨天气过程中的分析应用

党红梅, 占世林

(安康市气象局,陕西安康 725000)

摘 要:应用非地转湿Q矢量理论对 2007 年 7 月 5 日的大暴雨过程进行诊断分析,结果表明:500 hPa 快速东移的小槽,低层 700 hPa 关中横切变、西南急流,地面弱冷锋是此次强降水的主要影响系统;非地转湿Q矢量流场的辐合线南侧与强降水区吻合;近地面 850 hPa 锋生函数场正值区的变化较好地反映了锋面的强度,锋生函数正值区范围与降水区域对应较好;850 hPa 非地转湿Q矢量散度场辐合区与强降水的产生及强度正相关。

关键词:陕南;大暴雨;非地转湿Q矢量

中图分类号: P458.121.1

文献标识码:A

陕南北依秦岭,南靠巴山,境内峰峦迭障,沟 壑纵横,有河谷盆地、低山丘陵和中高山三种地 貌类型,夏季平均每年都有几次强降水过程(包 括暴雨和大暴雨),因而成为陕南夏半年的主要灾

害性天气之一。2007年7月1—9日,陕西南部出现持续暴雨、大暴雨天气过程,其间共出现5个

暴雨日,其中大暴雨日1个。9d中陕西南部28个 测站有23站暴雨,3站大暴雨,造成重大人员伤

亡和财产损失,其中7月5日11站暴雨,3站大暴雨,洋县、佛坪和宁陕降水量分别为172.2

收稿日期: 2007-11-05

作者简介:党红梅(1970-),女,陕西安康人,高级工程师,主要从事天气预报工作。

4 结论

- 4.1 VIL 产品结合 R 和 CR 产品有助于确定强对流单体的位置,可及早识别冰雹云。
- 4.2 冰雹云的 VIL 值明显大于雷雨云,降雹时 VIL 值在 50 kg/m^2 以上,最大可达 70 kg/m^2 。
- 4.3 VIL 值的"跃增"变化可作为降雹的判据之
- 一。一般在降雹前 10~15 min, VIL 值有明显的
- "跃增"变化,"跃增"后如果 VIL 值继续增大,则在 $10\sim20$ min 内 VIL 大值对应的区域会产生降 雹。
- 4.4 发展旺盛的冰雹云, VIL 值在 10 min 左右

mm、120.4 mm 和 107.7 mm,降水强度大,面积广,强降水主要集中在陕南中部地区,造成陕

西南部江河湖库水位猛涨,多次出现山洪暴发、山体滑坡、坝堤溃决,交通、电力、通讯等中断,城

市内涝以及农作物大面积被淹,导致绝收,损失十分惨重。本文应用非地转湿Q矢量理论对陕南

2007年7月5日大暴雨诊断分析,探讨湿Q矢量

1 天气形势分析

在陕南夏季强降水中的应用。

7月1-9日暴雨、大暴雨过程是在有利的大

突减 15 kg/m² 以上,将会给本地和下游地区造成 风灾。这可作为识别冰雹大风天气的判据之一。

4.5 距离雷达较远的合阳、韩城一带,VIL 值可信度较低, $40\sim50~{\rm kg/m^2}$ 甚至更小也可出现降

雹,在具体作业指挥中应引起注意。

参考文献:

[1] 俞小鼎,姚秀萍,熊廷南,等.多普勒天气雷达原理与业务应用[M].北京:气象出版社,2006:185-187.

都在 105°E~110°E 区域内。因此在暴雨分析时, 不但要关注副高位置的南北变化, 也要重视副高 位置的东西变化,副高东西方向的进退以中短期 变化为主,它对一定范围内的持续性降水和暴雨

2 计算公式及资料 2.1 计算公式

Q 矢量的分量。

环流形势下产生的。500 hPa 图 (图略)上,暴雨

期间巴湖一直维持一个稳定的低槽,附近有一12

°C的冷中心,西太平洋副热带高压脊线稳定在30°

N~32°N,巴湖底部不断分裂出小槽,小槽东南移

的过程中由于副高受阻, 在陕西的中南部每天有

新老小槽的更替,槽后不断有冷空气南侵,与低

空急流输送的暖湿气流交汇。7月4日20时500

hPa 副高 588 dagpm 线西伸到 110°E 附近,中心

强度 592 dagpm, 陕南处在副高西北侧 588

dagpm 线边缘,持续出现了暴雨、大暴雨。从7月

9日开始副高东退,之后陕南的强降水宣告结束。

另外,暴雨期间,副高位置的东西变化明显,每

逢暴雨出现时,副高 588 dagpm 线西脊点的位置

的反复发生有重要的影响[1]。4 日 20 时 700 hPa

河套北部有高压环流,高压低部为偏东风气流,云

贵高原-陕南为西南风急流,在两股气流之间关

中为东西向横切变线,横切变线南侧的强西南风

急流东西宽约3个经度,平均风速为13 m/s,其

中安康站达 12 m/s, 甘肃南部有低涡形成, 低涡

和切变线是本次大暴雨形成的主要影响系统,强

降水发生在横切变线南侧的西南急流的左前方。

考虑大气中水汽凝结潜热释放作用,并从非 地转绝热的原始方程组出发, 推导出非地转的湿 Q 矢量表达式^[2-5]: $\mathbf{Q}^* = (Q_x^*, Q_y^*) = \left\{ \frac{1}{2} \left[f \left(\frac{\partial v}{\partial p} \frac{\partial u}{\partial x} - \frac{\partial u}{\partial p} \frac{\partial v}{\partial x} \right) - \right] \right\}$ $h \frac{\partial V}{\partial x} \cdot \nabla \theta - \frac{\partial}{\partial x} \left(\frac{LR\omega}{C_p \cdot p} \frac{\partial q_s}{\partial p} \right) \right], \quad \frac{1}{2} \left[f \left(\frac{\partial v}{\partial p} \frac{\partial u}{\partial y} - \frac{\partial u}{\partial y} \right) \right]$

 $\frac{\partial u}{\partial p} \frac{\partial v}{\partial y} - h \frac{\partial V}{\partial y} \cdot \nabla \theta - \frac{\partial}{\partial y} \left(\frac{LR\omega}{C_p \cdot p} \frac{\partial q_s}{\partial p} \right) \right],$ 其中 $h = \frac{R}{\rho} \left(\frac{\rho}{1000} \right)^{R/C_p}$ 。 Q^* 矢量为 ρ 坐标系中的 湿Q矢量, Q_x^* 和 Q_y^* 分别为x方向和y方向的湿

非地转湿Q矢量表征的 ω 方程为

图 1 2007-07-04T20 850 hPa 非地转湿 Q 矢量流场

水的预报具有一定的指示意义。

7月4日20时850 hPa的非地转湿 Q 矢量 场的流场(图 1), 在 35°N、102°E~108°E 存在明 显的非地转湿Q矢量流场的辐合线,12h后距此

可以认为非地转湿 Q 矢量流场的辐合线是大气

垂直运动发展较强的定性指标,对陕南夏季强降

存储。 3 诊断结果 3.1 非地转湿 Q 矢量场的流线分析 辐合线南侧约1~2个纬度处出现大暴雨区。由此

2.2 计算资料 利用 MICAPS 系统提供的探空站的常规观 测资料(北京时08时和20时)进行计算,程序 加载到高空资料批处理命令中实时处理,输出逐 层的 Q^* 矢量流场、 Q^* 矢量散度和 Q^* 矢量锋生函 数,分别以 MICAPS 第 11 类或第 4 类数据格式

 $=2\mathbf{Q}^* \cdot \nabla \theta_{se}$,以反映锋区的加强或减弱。当 $F_{\mathbf{Q}^*}$ >0 时,表示湿 Q 矢量指向冷空气,锋生; 当 F_{Q^*} <0 时,表示湿 Q 矢量指向暖空气,锋消。

上升运动; 反之为下沉运动。 引入完全非地转湿Q矢量锋生函数 $[2-5]F_{Q^*}$

 $\nabla^2 (\sigma \omega) + f^2 \frac{\partial^2 \omega}{\partial^2 \rho^2} = -2 \nabla \cdot \mathbf{Q}^*,$

此式的物理意义: 在非地转条件下, 垂直运动仅

由湿Q矢量散度决定,当 ω 场具有波状特征时, ω

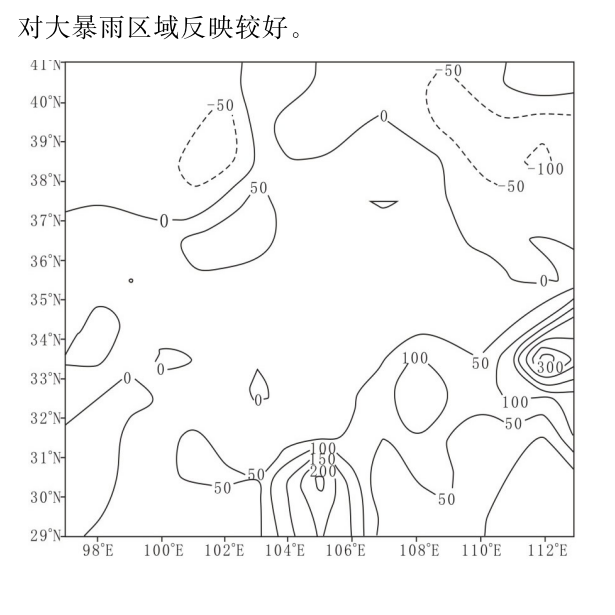
 ∞ ∇ · Q*。所以可推断当 ∇ · Q* < 0 时, ω < 0,为

含义而言,在 F_{Q^*} 场的正值区上升运动很强,水汽条件有利,且层结不稳定,是产生强降水的必要条件。从低层 850 hPa 非地转湿 Q 矢量锋生函数的分布来看,4日08时弱的锋生函数正值区生成于四川东北部的地面倒槽内,由于冷空气南下补充及西南风低空急流在锋面南侧建立,强烈的气流汇合使冷锋锋生加强,降水逐渐增大,陕南出现成片中雨。20时(图 2)随着锋面加强,锋生函数正值区向北向东扩展,加上冷锋后的冷空气东南下促使正非地转湿 Q 矢量锋生函数数值突然增大,中心值达100×10⁻¹⁴ K/(hPa · s³),锋生函数大值中心与地面冷锋、低层切变对应,正值区范围正是降水区域,强中心北侧的高值区与大暴雨区对应,洋县、佛坪和宁陕降水量分别为 172.2 mm、120.4 mm 和107.7 mm。可见,此次夏季强降水过程中,近地

3.2 非地转湿 Q 矢量锋生函数分析

锋生函数能够表示锋生锋消的程度。文献「2

-5] 指出,就非地转湿 Q 矢量锋生函数 F_{Q^*} 场的



面 850 hPa 锋生函数的变化较好地反映了锋面的

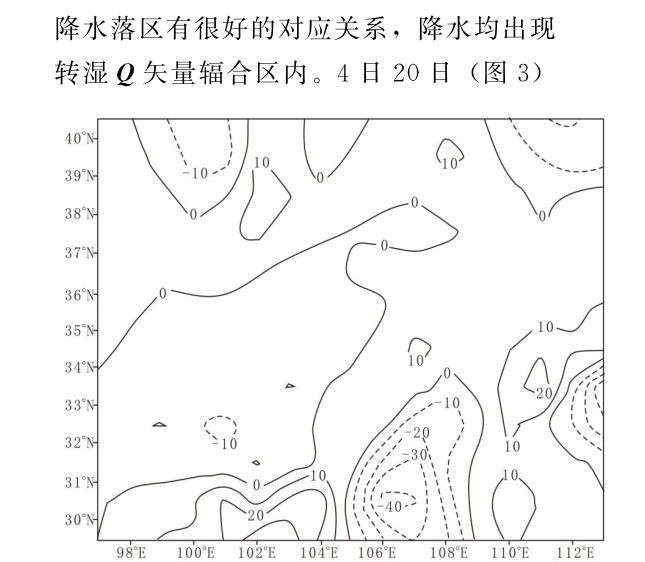
强弱,锋生函数正值区范围与降水区域对应较好,

图 2 2007-07-04T20 850 hPa 非地转湿 **Q** 矢量锋生函数分布 (単位: 10⁻¹⁴ K/ (hPa • s³))

低层非地转湿 Q 矢量散度辐合区通常是上升运动激发区,非地转湿 Q 矢量散度表示的是产

非地转湿 Q 矢量散度辐合与降水的关系

3.3



生垂直运动的强迫机制的强弱, $\nabla \cdot \mathbf{Q}^* < 0$ 的区

域,非地转上升运动将在一定时间尺度内得以维持^[2-5]。分析 850 hPa 非地转湿 **Q** 矢量散度图后

发现,非地转湿Q矢量散度负值区(辐合区)与

图 3 2007-07-04T20 850 hPa 非地转湿 **Q** 矢量散度 (单位: 10⁻¹⁷ hPa/s³)

一陕南中部为湿 Q 矢量散度负值区,中心辐合强度达 -40×10^{-17} hPa/s³ 以上,而陕南中部大暴雨

区则出现在湿Q矢量散度正负值交界附近的负值区一侧,说明暴雨区附近的上升气流和下沉气流间可能存在次级环流的扰动,利于不稳定能量的释放。同时次的垂直速度 ω 沿 108°E 的垂直剖面图(图 4)也反映出,强降水区 32°N \sim 37°N 从

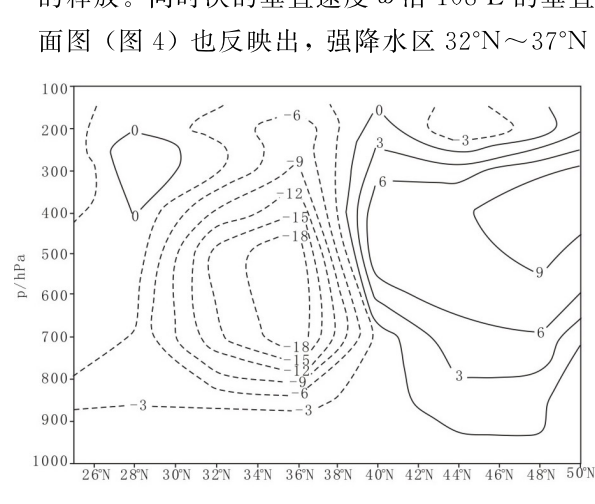


图 4 2007-07-04T20 垂直速度沿 108°E 的垂直剖面 (单位: 10⁻⁴ hPa/s)

低层到高层为一致的 ω 负值区,表明大气强烈的 辐合上升运动导致了强降水的产生。

对比同时刻的垂直速度 ω 场演变情况 (图 略),可以看到 ω 负值区与非地转湿Q矢量散度 辐合负值区中心位置及移动路径基本相同。不同 点在于: 非地转湿Q矢量散度负值区的范围小于 ω负值区范围,前者与此次强降水落区较为吻合。

3.4 非地转湿 0 矢量散度的时间演变

为进一步说明陕南夏季强降水与非地转湿 Q 矢量散度发展变化的关系,制作通过大暴雨中心 洋县 (33.5°N、108°E) 低层 850 hPa 非地转湿 Q

矢量散度随时间演变图。从图 5 可以看出非地转 湿 Q 矢量散度的演变特征: 4 日 08 时前在低层 850 hPa 开始出现湿 Q 矢量散度负值区,08 时后 Q 矢量散度负值区数值逐渐增大,辐合增强,范围 也不断扩大,相应陕南已有降水。4日20时暴雨 区上空均为湿O矢量散度负值区,最强的辐合中 心位于 108°E, 未来 12 h 强降水中心就出现在该 地。可见,非地转湿Q矢量散度负值区的存在及 强度的增强与陕南夏季未来 12 h 降水的产生及 强度密切正相关。

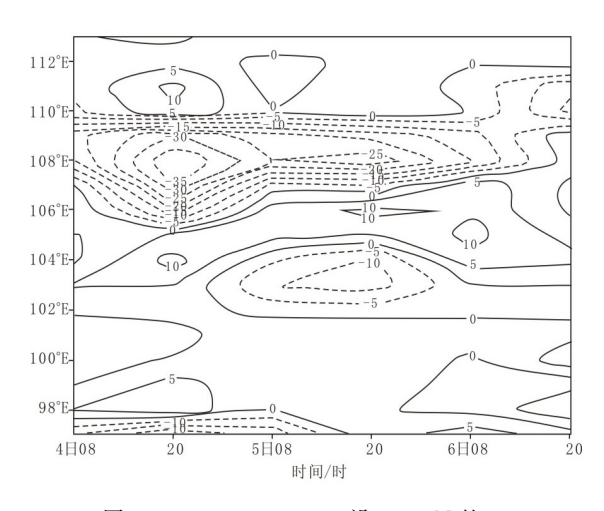


图 5 2007-07-04-06 沿 33.5°N 的 850 hPa 非地转湿 Q 矢量散度的时间-经度剖面 (单位: 10⁻¹⁷ hPa/s³)

4 结论

- 4.1 环流形势上,500 hPa 快速东移的小槽,低 层 700 hPa 关中横切变、西南急流是陕南地区大 范围强降水的主要原因, 当地面冷锋加强并在陕 南中部与暖湿气流结合,陕南中部出现大暴雨。
- 4.2 非地转湿 Q 矢量流场的辐合线的南侧,与 未来 12 h 陕南大暴雨区对应。
- 近地面 850 hPa 锋生函数的变化较好地反 映了锋面的强弱,锋生函数正值区范围与降水区 域对应较好,对大暴雨区域反映较好。
- 湿 0 矢量散度分析表明,湿 0 矢量散度负 值区的移向及辐合强度的变化与本次陕南夏季强 降水发生区域及降水强弱对应,陕南中部大暴雨 区则出现在湿 Q 矢量散度正负值交界附近的负 值区上升支一侧。
- 4.5 通过对比分析发现,非地转湿Q矢量散度 负值区的范围小于 ω 负值区范围, 前者与此次夏 季强降水落区较为吻合。

参考文献:

- [1] 张弘,孙伟. 2003 年陕西持续性暴雨成因分析 [J]. 灾害学, 2004, 19 (3): 55-61.
- [2]寿绍文. 中尺度气象学 [M]. 北京: 气象出版社, 2003: 267-276.
- 张兴旺,修正的Q矢量表达式及其应用[J].热带 [3] 气象学报,1999,15(2):162-167.
- 张兴旺. 湿Q矢量表达式及其应用[J]. 气象,1998, 24 (8): 3-7.
- 慕建利,赵琳娜,杜继稳.湿Q矢量在陕西大暴雨 过程中的应用研究 [J]. 陕西气象, 2007 (6): 1-5.